

В. П. ГЕРАСИМЕНКО, Р. Р. ХАРЧЕНКО
(Москва)

ПРИНЦИПЫ ПОСТРОЕНИЯ АНАЛОГОВЫХ ЛОГOMETРИЧЕСКИХ ПРЕОБРАЗОВАТЕЛЕЙ

Рассматриваются вопросы, связанные с аналоговыми преобразователями логометрического типа. Описываются основные принципы построения преобразователей. В основу классификации положена структурная схема устройства. Классификационные группы иллюстрируются конкретными примерами.

В системах автоматического контроля и управления, в счетно-решающей и измерительной технике встречаются задачи, требующие осуществления математических операций над электрическими сигналами. К подобным операциям относятся: умножение, деление, возведение в степень, интегрирование и т. д.

В настоящей работе будут рассмотрены подробней схемы, выполняющие только операцию деления.

Электромеханические механизмы, реагирующие на отношение двух электрических сигналов, известны в измерительной технике давно. Это логометры. Они применяются для измерения параметров электрической цепи: R , L , C , f , φ . Логометры обладают ценным свойством: если изменение какого-либо фактора влияет на оба электрических сигнала в равной степени, то результат показаний свободен от этого влияния.

Как известно, электромеханические логометры могут иметь высокую точность, однако они весьма инерционны и в большинстве реализаций не дают электрического сигнала на выходе. Указанные недостатки делают их непригодными в многочисленных устройствах технической кибернетики. Отсюда понятен большой интерес к таким делительным устройствам, у которых выходной величиной является электрический сигнал в виде тока, напряжения или периодических импульсов, в которых информацию несет частота или длительность импульса. Будем называть такие устройства логометрическими преобразователями. Очевидно, что их можно также отнести к классу аналоговых решающих преобразователей.

Логометрические преобразователи имеют обширную область применения. Они необходимы для непосредственных измерений параметров электрической цепи (электронные аналоги логометров); для автоматизации некоторых видов косвенных измерений; в телеметризации; в аналоговых вычислительных устройствах в качестве блоков, моделирующих отношения двух полиномов и обратные функциональные зависимости, а также в качестве масштабирующих устройств. С помощью

аналоговых логометрических преобразователей можно построить анализаторы спектров, стабилизированные источники питания, демодуляторы и др.

Прежде чем перейти к обзору схем аналоговых логометрических преобразователей, необходимо дать некоторые определения.

А. Пусть в общем случае X и Y — входные величины, Z — выходная величина логометрического преобразователя паспортного вида;

$$Z = f\left(\frac{X}{Y}\right). \quad (1)$$

В большинстве реализаций логометрические преобразователи имеют линейную функцию преобразования; у них $Z = S \frac{X}{Y}$, где S — паспортная чувствительность.

Отдельные реализации действительной функции преобразования $Z_i = f\left(\frac{X}{Y}\right)^*$ отличаются от паспортной функции Z .

Абсолютная погрешность преобразователя может быть представлена в следующем виде:

$$\Delta_i Z = Z_i - Z = f_i\left(\frac{X}{Y}\right) - f\left(\frac{X}{Y}\right).$$

По экспериментальным значениям $\Delta_i Z$ можно находить различные критерии и характеристики точности логометрического преобразователя.

Б. Входными электрическими величинами X и Y логометрических преобразователей могут быть, как правило, напряжение, частота или сопротивление. Два последних случая описываются в [1, 2]. В настоящем обзоре будут рассматриваться только такие логометрические преобразователи, у которых входная величина по входу X представлена напряжением или постоянного тока, или в общем случае меняющейся во времени переменного тока любой формы, включая синусоидальную, а по входу Y — только напряжением постоянного тока, поскольку при знакопеременном напряжении на входе Y частное от деления в моменты перехода делителя через нулевые значения обращалось бы в бесконечность, что не может быть реализовано ни в какой физической системе.

В. Следует отметить, что в обзор не включена группа множительно-делительных преобразователей, построенных на электромеханических следящих системах [1, 3]. Эти преобразователи по своим точностным и динамическим характеристикам близки к электромеханическим логометрам.

Основным классификационным признаком будем считать структурную схему логометрического преобразователя. По этому признаку все схемы можно подразделить на следующие группы:

I. Устройства, преобразующие одну из входных величин в величину, ей обратную, с последующим перемножением на вторую входную величину.

II. Устройства с заменой операции деления вычитанием логарифмов входных величин.

III. Устройства с времязимпульсным преобразованием.

* Определяется путем тарировки логометрического преобразователя.

IV. Устройства, использующие операционный усилитель, в обратную связь которого включена схема перемножения.

V. Устройства с импульсной обратной связью.

* * *

Структурная схема логометрических преобразователей первой группы приведена на рис. 1, а и не требует дополнительных пояснений. Выходная величина Z определяется из выражения (1).

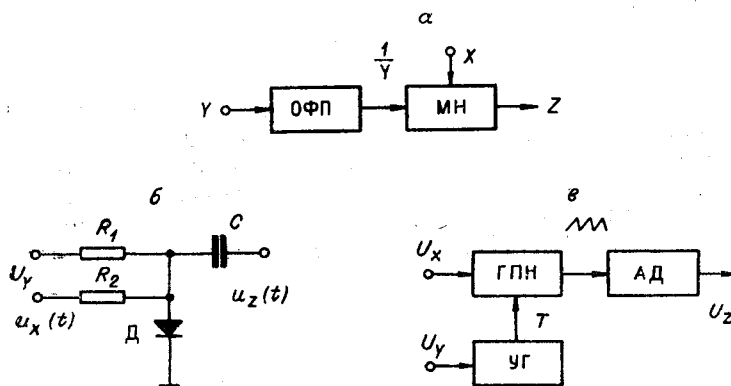


Рис. 1.

Примером делительного устройства первой группы служит схема, представленная на рис. 1, б [4]. На входы подается переменное напряжение $U_x(t)$ и напряжение постоянного тока U_y . С выхода схемы снижается переменное напряжение $U_z(t)$. Параметры схемы подбираются так, что напряжение U_y задает рабочую точку на вольт-амперной характеристике полупроводникового диода Д. Для этого необходимо выполнить условие

$$R_1 > R_2 \gg r_{ct}, \quad (2)$$

где r_{ct} — сопротивление диода постоянному току.

Тогда постоянный ток, протекающий через диод, определяется

$$I \approx \frac{U_y}{R_1}. \quad (3)$$

Как известно [4], вольт-амперная характеристика полупроводникового диода хорошо аппроксимируется выражением

$$I = I_0 (e^{\frac{U}{\Phi_T}} - 1), \quad (4)$$

где I_0 — тепловой ток;

Φ_T — температурный потенциал.

* Здесь и в дальнейшем индексы X , Y и Z означают принадлежность данной величины к делимому, делителю и частному соответственно; U — напряжение постоянного тока; $u(t)$ — мгновенное значение напряжения переменного тока, а U_m — его амплитудное значение.

При достаточно большом по сравнению с φ_T напряжении на диоде динамическое сопротивление диода равно

$$r_g = \frac{\partial U}{\partial I} \approx \frac{\varphi_T}{I}.$$

Принимая во внимание (3), для схемы рис. 1, а получим

$$r_g = \frac{\varphi_T R_1}{U_Y}.$$

Амплитуда переменного напряжения $u_X(t)$ выбирается такой, чтобы определенное выше динамическое сопротивление диода можно было считать величиной постоянной. Поскольку динамическое сопротивление диода всегда меньше его статического сопротивления в данной точке, то неравенство (2) сохраняет силу и для r_d . Тогда переменная составляющая напряжения $u_Z(t)$ на выходе выразится

$$u_Z(t) = \frac{u_X(t) r_d}{R_2 + r_d} \approx S \frac{u_X(t)}{U_Y},$$

$$\text{где } S = \varphi_T \frac{R_1}{R_2}.$$

Описанная схема применяется для автоматической регулировки усиления; она достаточно проста, имеет широкую полосу частот, но отличается малой точностью вследствие зависимости φ_T от температуры и приближенности выражения (4).

Для повышения точности описанного преобразователя можно вместо диода применить функциональный преобразователь с кусочно-линейной или нелинейной аппроксимацией экспоненциальной зависимости.

Вторым примером является схема рис. 1, в [5]. В ней входные и выходные величины представлены напряжением постоянного тока. Угол наклона импульсов генератора пилообразного напряжения ГПН пропорционален величине U_X , а период следования T этих импульсов равен периоду импульсов, поступающих с управляемого генератора УГ, представляющего собой преобразователь напряжения U_Y в частоту импульсов.

Очевидно, что период этих импульсов связан с величиной напряжения U_Y обратно пропорциональной зависимостью. Следовательно, амплитуда пилообразных импульсов, или напряжение, снимаемое с амплитудного детектора, запишется в следующем виде:

$$U_Z = S \frac{U_X}{U_Y},$$

где S — чувствительность, зависящая от параметров схемы.

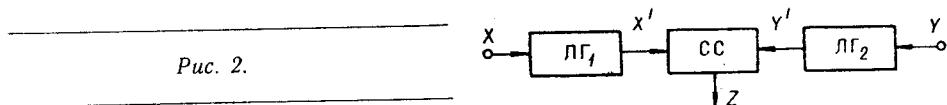
Метрологические характеристики таких преобразователей определяются линейностью и стабильностью характеристик блоков ГПН и УГ, а динамические свойства соответственно — быстродействием этих блоков.

* * *

В качестве иллюстрации логометрического преобразователя второй группы может служить устройство с логарифмированием рис. 2. Входные величины X и Y после преобразования с помощью логарифмических функциональных преобразователей ЛГ_1 и ЛГ_2 подаются на схему сравнения СС , которая выделяет разность логарифмов входных величин:

$$\left. \begin{aligned} X' &= \log X; \\ Y' &= \log Y; \\ Z' &= \log X - \log Y = \log \frac{X}{Y}. \end{aligned} \right\} \quad (5)$$

Погрешности таких преобразователей определяются точностью выполнения операций логарифмирования и вычитания. Схемы с лога-



рифмированием обладают той особенностью, что они легко могут быть использованы и как множительные устройства. В самом деле, если на вход схемы сравнения подать сумму логарифмов входных величин, то на выходе ее получим логарифм их произведения.

* * *

Перейдем к логометрическим преобразователям времязадерживающего типа. На рис. 3, а приведена схема такого устройства [1, 3, 6]. Амплитуда импульсов генератора экспоненциального напряжения ГЭН определяется величиной входного напряжения постоянного тока U_Y . Экспоненциальные импульсы поступают на первый вход нуль-органа НО; на второй вход подается напряжение U_X . Выходным устройством нуль-органа является управляемый ключ.

Можно показать, что длительность прямоугольного импульса, коммутируемого этим ключом, пропорциональна логарифму отношения входных величин данного делительного устройства:

$$T_Z = S \ln \frac{U_X}{U_Y},$$

где S — крутизна преобразователя.

Если вместо генератора экспоненциального напряжения применить генератор линейно возрастающего напряжения, то логарифмический преобразователь обращается в линейный и для выходной величины T_Z можно записать

$$T_Z = S \frac{U_X}{U_Y}.$$

Описанные логометрические преобразователи времязадерживающего типа обладают довольно широкой полосой пропускания, но требуют стабильных генераторов экспоненциального и линейного напряжения.

К этой же группе логарифмических преобразователей относится схема делительного устройства, приведенная на рис. 3, б [7]. Работа схемы иллюстрируется диаграммами рис. 3, в.

Входное синусоидальное напряжение $u_Y(t) = U_{mY} \sin \omega t$ после двухполупериодного выпрямления подается на схему сравнения, построенную по принципу сложения токов. На второй вход схемы сравнения

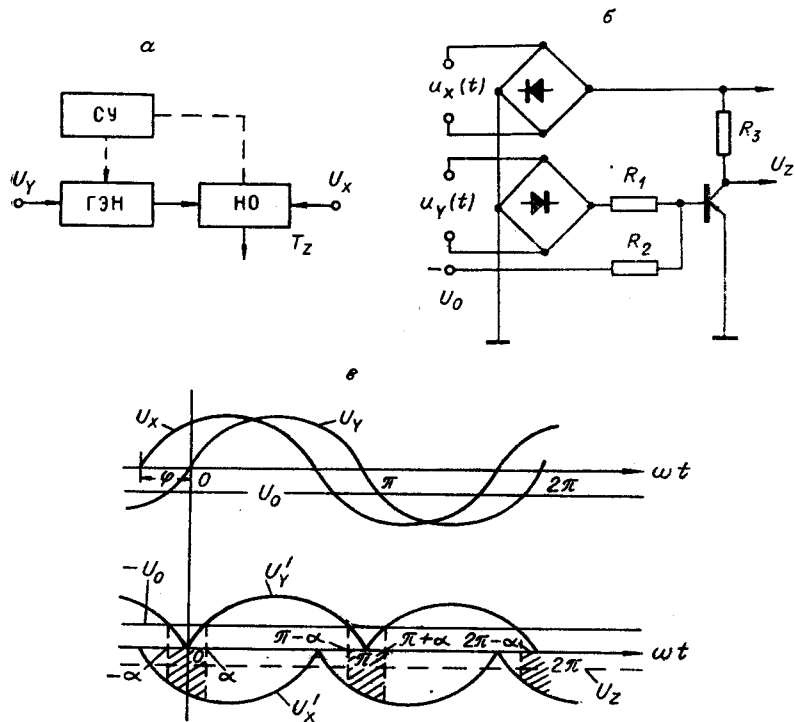


Рис. 3:

поступает постоянное напряжение U_0 . Алгебраическая сумма входных сигналов подается на базу полупроводникового триода, работающего в ключевом режиме. При $R_1=R_2$ триод находится в закрытом состоянии, пока мгновенное значение напряжения $u_Y(t)$ больше напряжения U_0 . Коммутация ключевой схемы происходит в момент равенства напряжений:

$$U_{mY} \sin \alpha = U_0, \quad (6)$$

где α — угол, соответствующий моменту равенства.

В нагрузке R_3 создается пульсирующее напряжение, среднее за период значение которого с учетом (6) равно

$$U_Z = \frac{1}{\pi} \int_{\pi - \alpha}^{\pi + \alpha} U_{mX} \sin(\omega t + \varphi) d\omega t = \frac{2}{\pi} \sin \varphi \frac{U_{mX}}{U_{mY}} U_0,$$

где $U_{mX} \sin(\omega t + \varphi) = u_X(t)$ — напряжение, представляющее делимое; φ — фазовый сдвиг между $u_X(t)$ и $u_Y(t)$.

Описанная схема обладает невысокими точностными характеристиками, однако проста и отличается широкой полосой частот.

* * *

Четвертая группа логометрических преобразователей построена на использовании обратимости операции перемножения. Их структурная схема представлена на рис. 4, а. Усилитель постоянного тока Y охвачен

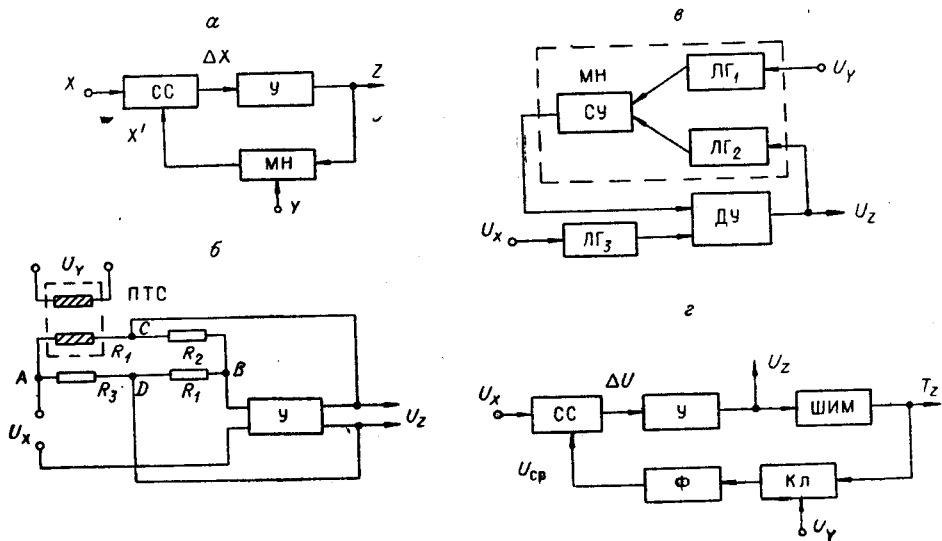


Рис. 4.

отрицательной обратной связью через звено перемножения; глубина обратной связи здесь регулируется входной величиной Y . На вход схемы сравнения СС поступают сигналы X и X' . Очевидно, что в схеме имеют место следующие соотношения:

$$\left. \begin{aligned} \Delta X &= X - X'; \\ X' &= c Y Z; \\ Z &= \Delta X k = \frac{k X}{1 + k c X}, \end{aligned} \right\} \quad (7)$$

где c — коэффициент пропорциональности;

k — коэффициент усиления усилителя постоянного тока.

При достаточно большом k , если выполняется неравенство $k c Y \gg 1$, выражение (7) можно представить в виде

$$Z \approx S \frac{X}{Y}, \quad (8)$$

где $S = \frac{1}{c}$.

Все схемы логометрических преобразователей четвертой группы практически отличаются друг от друга только типом множительного устройства [8]. Как следует из (7) и (8), погрешности таких схем определяются в основном погрешностью выполнения операции перемножения.

В качестве примера логометрического преобразователя этой группы рассмотрим схему, приведенную на рис. 4, б [9]. Входные величины U_X и U_Y , а также выходная величина U_Z представляют собой напряжение постоянного тока. Полупроводниковое термосопротивление ПТС служит преобразователем напряжения U_Y в вариацию сопротивления R_1 , включенного в одно из плеч неравновесного моста $R_1 - R_2 - R_3 - R_4$. С выхода усилителя постоянного тока У на диагональ моста СД подается напряжение U_Z . Напряжение на диагонали AB приближенно запишем как

$$U_{AB} \approx \alpha U_Y U_Z,$$

где α — коэффициент пропорциональности, определяемый параметрами схемы.

На вход усилителя подается разность напряжений U_X и U_{AB} . Нетрудно показать, что при этом выходная величина U_Z выразится

$$U_Z = \frac{k U_X}{1 + k \alpha U_Y},$$

где k — коэффициент усиления усилителя.

Если $k \alpha U_Y \gg 1$, то $U_Z \approx \frac{U_X}{\alpha U_Y}$. Недостатком описанной выше схемы является большая инерционность, обусловленная наличием ПТС.

К этой же группе преобразователей можно отнести схему с логарифмическим множительным устройством, приведенную на рис. 4, в. Входные и выходная величины представлены напряжением постоянного тока. Для схемы справедливо следующее соотношение:

$$\log U_X - \log U_Z - \log U_Y = \frac{U_Z}{k}. \quad (9)$$

При достаточно большом k величину правой части уравнения (9) можно принять равной 0; тогда для выходной величины U_Z можно записать

$$U_Z \approx \frac{U_X}{U_Y}.$$

Заметим, что данная схема отличается от преобразователя с логарифматорами (см. рис. 2) наличием отрицательной обратной связи; следовательно, требования к стабильности параметров усилителя в ней значительно упрощаются; поэтому схемы логометрических преобразователей с логарифматорами, относящиеся к четвертой группе, отличаются более высокими точностными характеристиками.

В качестве примера логометрического преобразователя четвертой группы, использующего множительное устройство время-импульсного типа, рассмотрим схему, данную на рис. 4, г. Здесь входные величины U_X и U_Y — постоянные напряжения. Амплитуда прямоугольных импульсов, коммутируемых ключевой схемой Кл, пропорциональна вели-

чине U_Y , а длительность их определяется величиной T_Z . На выходе фильтра низких частот имеем

$$U_{\text{ср}} = U_Y \frac{T_Z}{T}, \quad (10)$$

где T — период следования тактовых импульсов.
Схема сравнения СС осуществляет операцию

$$\Delta U = U_X - U_{\text{ср}}. \quad (11)$$

Напряжение ΔU , усиленное усилителем постоянного тока Y в k раз, управляет широтно-импульсным модулятором ШИМ. На выходе модулятора получаются импульсы длительности

$$T_Z = c k \Delta U, \quad (12)$$

где, как и ранее, c — коэффициент пропорциональности.

Подставляя в (11) значения $U_{\text{ср}}$ и ΔU из (10) и (12) и принимая во внимание, что при достаточно большом $k \frac{k c U_Y}{T} \gg 1$, получим окончательно

$$T_Z = T \frac{U_X}{U_Y}. \quad (13)$$

Из (12) и (13) следует

$$U_Z = k \Delta U = S \frac{U_X}{U_Y},$$

где S — крутизна преобразования.

Как видим, подобные преобразователи позволяют получить выходную величину в виде непрерывно меняющегося напряжения или в виде импульсов напряжения, где информацию о частном несут периодически повторяющиеся интервалы времени, которые достаточно просто можно представить в цифровой форме.

* * *

Логарифмические преобразователи пятой группы представляют собой устройства с импульсной обратной связью. Формально они могли бы быть отнесены к четвертой группе, однако наличие импульсной обратной связи вносит в их структуру некоторые существенные особенности. Проиллюстрируем сказанное на примере преобразователя с частотным выходом (рис. 5) [10]. На вход схемы сравнения СС поступает напряжение постоянного тока U_X и прямоугольные импульсы, которые вырабатываются звеном импульсной обратной связи. Ампли-

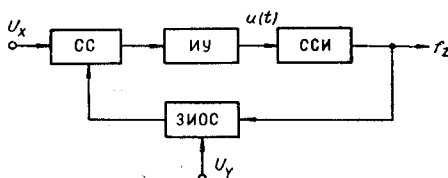


Рис. 5.

туда этих импульсов равна U_Y , а частота следования — f_Z . В отсутствие импульсов обратной связи интегрирующий усилитель ИУ интегрирует U_X . Его выходное напряжение $u(t)$ линейно возрастает со скоростью, пропорциональной U_X , пока не достигнет уровня срабатывания схемы сравнения импульсного типа ССИ. Сигнал с выхода ССИ запускает звено обратной связи, которое вырабатывает импульс, противоположный по знаку U_X , с амплитудой U_Y . При поступлении этого импульса напряжение на выходе интегратора линейно убывает со скоростью, пропорциональной разности $U_Y - U_X$, в течение длительности импульса обратной связи t_0 . Далее процесс повторяется периодически.

Поскольку для установившегося режима напряжение на выходе интегратора в начале каждого периода по величине оказывается равным уровню срабатывания схемы сравнения, работа преобразователя описывается уравнением

$$c_1 \int_0^T U_X dt - c_2 \int_{T-t_0}^T U_Y dt = 0, \quad (14)$$

где c_1 и c_2 — постоянные коэффициенты, зависящие от параметров схемы;

T — период следования импульсов обратной связи.

Для прямоугольной формы импульса обратной связи выражение (14) можно переписать в следующем виде:

$$f_Z = \frac{1}{T} = c' \frac{U_X}{U_Y},$$

где c' — постоянный коэффициент.

Описанный преобразователь относится к устройствам частотно-импульсного типа. Он обладает повышенными характеристиками точности, но требует стабилизации ширины импульса обратной связи t_0 .

Нетрудно показать, что подобный преобразователь легко превращается в широтно-импульсный. В самом деле, если решить уравнение (14) относительно t_0 , то

$$T_Z = t_0 = c'' \frac{U_X}{U_Y},$$

где c'' — постоянный коэффициент.

В этом случае требуется стабилизировать период следования импульсной обратной связи T , что осуществляется с помощью введения генератора стабильных тактовых импульсов, поступающих на звено импульсной обратной связи.

В заключение отметим, что задача построения комплекса логометрических преобразователей еще далеко не решена. В технической литературе время от времени появляются сообщения о новых схемах делительных устройств, причем явно намечается тенденция к их специализации. По этой причине данная работа не претендует на полноту обзора всех реализаций логометрических преобразователей; авторы стремились показать лишь принципы построения таких преобразователей, проиллюстрировав их существующими схемами.

ЛИТЕРАТУРА

1. Вычислительные машины непрерывного действия. Под ред. В. Б. Смолова. М., Госэнергоиздат, 1964.
2. Г. О. Паламарюк. Множительно-делительное устройство. Авторское свидетельство № 144323. Бюллетень изобретений, 1962, № 2.
3. А. А. Маслов. Методы повышения точности и полосы пропускания аналоговых множительных устройств. Автореф. дисс. М., 1962.
4. Hegbeig L. Kahn. Multiplication and Division Using Silicon Diodes.— Rev. Scient. Instrum., 1962, v. 33, № 2.
5. Л. Я. Ильинский. Моделирование операции деления линейным зарядом емкости.— Радиотехника, 1962, № 4.
6. В. Б. Смолов. Электронные делительные преобразователи с цифровым отсчетом.— Измерительная техника, 1958, № 6.
7. В. Л. Бонин, В. У. Кизилов. Множительно-делительное полупроводниковое устройство.— Автоматика и телемеханика, 1962, т. XXIII, № 10.
8. И. В. Латенко. Аналоговые множительные устройства. Киев, Гостехиздат УССР, 1963.
9. Л. В. Зотов, В. С. Попов. Множительные и делительные устройства на подогревных сопротивлениях.— Автоматика и телемеханика, 1962, т. XXIII, № 3.
10. Ю. Н. Еланов, Р. Р. Харченко. Линейные измерительные преобразователи постоянного напряжения в частоту и длительность импульсов с импульсной обратной связью.— Автометрия, 1966, № 1.

Поступила в редакцию
11 апреля 1966 г.